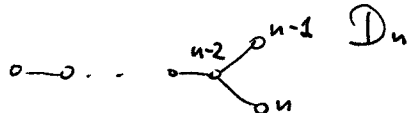


Рассмотрим однородное многообразие для SO_{2n}



Всегда ω_2 отбирает квадрику $\{q(u) = 0\}$

- соответствует естественному представлению

$\omega_2 \rightarrow$ рассматриваем $\Lambda^2 V$

замкнутая орбита такой:

$$\langle u, v \rangle \quad \{q(u) = q(v) = f(u, v) = 0\}$$

$$f(u, v) = q(u+v) - q(u) - q(v)$$

В плоское изотропная плоскость

$$\text{т.е. } q|_{\langle u, v \rangle} = 0$$

ω_3 - аналогично

:

ω_{n-2} - аналогично: В плоское изотропные подпространства размерности $n-2$

$\omega_{n-1} > n-2$, и другие соответствуют ^{в плоское} изотропным подпространствам
размерности n

Многообразие Волние изотропных подпространств
размерности n имеет две компоненты связности

$$e_1, \dots, e_n, e_{-n}, \dots, e_{-1}$$

$$\begin{pmatrix} 0 & \cdot & \cdot \\ \cdot & 0 & \cdot \\ \cdot & \cdot & 0 \end{pmatrix}$$

$$\langle e_1, \dots, e_{n-1}, e_n \rangle \xrightarrow{\omega_{n-1}}$$

не переводится друг в друга действием SO_{2n}

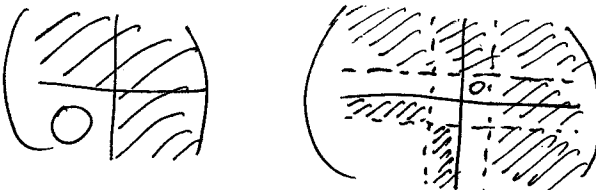
$$\langle e_1, \dots, e_{n-1}, e_{-n} \rangle \xrightarrow{\omega_n}$$

Многообразие Волние изотропных подпространств размерности $n-1$

- не максимальное однородное -

- оно соответствует $\omega_{n-1} + \omega_n$

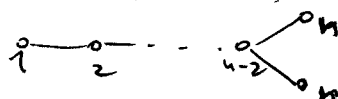
$$\text{Stab}(\langle e_1, \dots, e_{n-1} \rangle) = \text{Stab}(\langle e_1, \dots, e_{n-1}, e_n \rangle) \cap \text{Stab}(\langle e_1, \dots, e_{n-1}, e_{-n} \rangle)$$



Немаксимальное многообразие соответствует выражению:

$$\omega_{n-1} + \omega_n$$

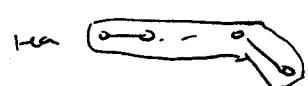
Флаг-множество подпространств правильных размерностей:



с максимальностью:



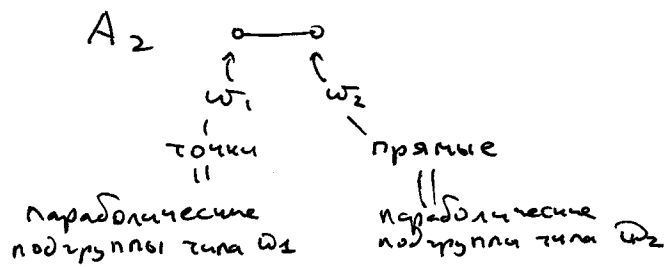
инцидентность = включение



- тоже включение

а для w_{n-1} и w_n инцидентность ~~означает~~ означает,
что их пересечение имеет размерность $n-1$

Пример геометрии



$$\mathbb{P}^3, \langle u \rangle \leq F^3$$

$\text{Stab}_{SL_3}(\langle u \rangle)$ имеет тип ω_1

$$\begin{pmatrix} * & * & * \\ 0 & * & * \\ 0 & * & * \end{pmatrix} \quad \begin{pmatrix} 1 \\ 0 \end{pmatrix}$$

$$(F^3)^*, \varphi \in (F^3)^*$$

$$\text{Stab}_{SL_3}(\langle \varphi \rangle) \text{ имеет тип } \omega_2$$

$$\begin{pmatrix} * & * & * \\ * & * & * \\ 0 & 0 & 1 \end{pmatrix} \quad (0 \ 0 \ 1)$$

Окночный метод имеет:

точка лежит на прямой -

$\varphi(u) = 0$, а в терминах параболических подгрупп:

$\text{Stab}(\langle u \rangle) \cap \text{Stab}(\langle \varphi \rangle)$ содержит борелевскую подгруппу
(= параболич. подгруппа типа $\omega_1 + \omega_2$)

можно вывести абстрактные аксиомы (Дж. Дезаргю и др. Паппа)
и полные $SL_1(A)$, A -с.п.а. $\deg = 3$

аксио. норм.

$E \in H^1(F, G)$

G -многообразие X (одн. проективное)

E_X ; сингуларности этого многообразия

в смысле алгебраической геометрии

Например, $CH^*(\varepsilon X)$

$$CH^*(\varepsilon X) \longrightarrow CH^*((\varepsilon X)_{\bar{F}}) = CH^*(X_{\bar{F}})$$

$$X_{\bar{F}} \longrightarrow X$$

$$\text{Spec } \bar{F} \longrightarrow \text{Spec } F$$

нас интересует образ
этого гомоморфизма
крупнее содержится в его ядре,
за счет чего легче жить.

Основная подтема

① Надо посчитать $\mathrm{CH}^*(X_F)$

Примеры

\mathbb{P}^n . Рассмотрим $\mathbb{P}^n \times \mathbb{P}^n$ (с диагональным действием S_{diag})
 S_{diag} действует негранчично на нем

$$\begin{array}{ccc} \mathbb{P}^n \times \mathbb{P}^n & \xrightarrow{\quad} & \mathbb{P}^n \\ (\langle u \rangle, \langle v \rangle) & \downarrow A^n & \text{диагональ} \\ & \downarrow & \text{дополнение к диагонали} \\ & \mathbb{P}^n & \text{со слоем } A^n \end{array}$$

расслаивается над \mathbb{P}^4

$$\begin{array}{ccc} \mathbb{P}^n \times \mathbb{P}^n & \xrightarrow{\quad} & \mathbb{P}^n \\ (\langle u \rangle, \langle v \rangle) & \downarrow & \text{диагональ} \\ & \downarrow & \text{дополнение к диагонали} \\ \text{ориг} (\langle u \rangle \times \langle u, v \rangle) & \xrightarrow{\quad} & A^1 = \mathbb{P}^1 \setminus \mathbb{P}^0 \\ & & \text{база над } \mathrm{Gr}(1, 2, n+1) \\ & & \text{со слоем } A^1 \\ & & \text{ориг, состоящее из } (n+1)-\text{мерного пространства} \\ & & \text{из прямой плоскости} \end{array}$$

На $\mathrm{Gr}(1, 2, n+1)$ есть двумерное вещественное расслоение \tilde{v}_2 :
на точках $\langle u \rangle \times \langle u, v \rangle$ висят плоскости $\langle u, v \rangle$

на точках $\langle u \rangle \times \langle u, v \rangle$ висят плоскости $\langle u, v \rangle$

на точках $\langle u \rangle \times \langle u, v \rangle$ висят прямые $\langle u \rangle$

Как дополнить прямую до плоскости? \rightarrow слой A^1 .

Теперь записываем везде и

т.е. берем слой над точкой в первом \mathbb{P}^4

$$\begin{array}{ccc} \rightsquigarrow & \mathbb{P}^n & \xrightarrow{\quad} \mathrm{pt} \\ & & \downarrow A^1 \\ & & \mathrm{Gr}(1, n) = \mathbb{P}^{n-1} \end{array}$$

точная последовательность локализации:

$$\mathrm{CH}^{*-n}(\mathrm{pt}) \rightarrow \mathrm{CH}^*(\mathbb{P}^n) \longrightarrow \mathrm{CH}^*(\mathbb{P}^{n-1}) \rightarrow 0$$

\downarrow
пункт Венда = 0

$$\text{значит, } \mathrm{CH}^i(\mathbb{P}^n) = \begin{cases} \mathrm{CH}^i(\mathbb{P}^{n-1}), & i < n \\ \mathbb{Z}, & i = n \\ 0, & i > n \end{cases}$$

По индукции получаем, что в каждом разночтении от 0 до n стоит одна копия \mathbb{Z} .

$\dim V = n+1$

$SL(V) \cong \text{PGL}(V), \dots$

$$\begin{array}{ccc} \mathbb{P}(V^*) \times \mathbb{P}(V) & \supset & \{\varphi(u) = 0\} \\ (\varphi) \qquad \qquad \qquad \hookrightarrow & & \omega_1 + \omega_n \\ \downarrow & & \downarrow A^n \\ \varphi & & \mathbb{P}(V^*) \end{array}$$

Записываем φ :

$$\begin{array}{ccc} \mathbb{P}^n & \supset & \mathbb{P}^{n-1} \\ & \downarrow A^n & \\ & pt & \end{array}$$

$$CH^{*-1}(\mathbb{P}^{n-1}) \longrightarrow CH^*(\mathbb{P}^n) \longrightarrow CH^*(pt) \longrightarrow 0$$

считаем по индукции и получаем тот же результат
— замкнутое подмногообразие

$$X \supset Z$$

$$X \setminus Z = U$$

$$CH^{*-codim_X Z}(\mathbb{Z}) \xrightarrow{\text{push-forward}} CH^*(X) \xrightarrow{\text{pull-back}} CH^*(U) \longrightarrow 0$$

↑
— то же мономорфизм

Решение:

$$0 \ 1 \ \dots \ n \leftarrow \text{коразмерность}$$

$$[\mathbb{P}^n] \quad [\mathbb{P}^{n-1}] \quad [pt]$$

↑
надо доказать, что

$$[\mathbb{P}^{n-i}]^i = \begin{cases} [\mathbb{P}^{n-i}], & i \leq n \\ 0, & i > n \end{cases}$$

$$[x_0 : \dots : x_n]$$

$$\mathbb{P}^{n-1} : \quad x_0 = 0$$

$$\text{Другое } \mathbb{P}^{n-1} : \quad x_1 = 0 \quad] \text{ в пересечении: } x_0 = x_1 = 0 \iff \mathbb{P}^{n-2}$$

$SB(D)$, D -тело, $\text{ind } D = n+1$

скрученная форма \mathbb{P}^n

$$CH^*(SB(D)) \longrightarrow CH^*(\mathbb{P}_F^n)$$

$$\begin{matrix} \mathbb{Z} \\ \mathbb{Z} \end{matrix}$$

числа из образа — расщепляемые
(по отношению к E)

это всегда в образе

$$\mathbb{Z}_n$$

Любое класс $[pt]$ разбогачен

Значит, если конечные (сепарадельные?) расширения L_1, \dots, L_k такие, что ① над каждым L_i такое многообразие имеет рациональные точки;

$$\text{② } \gcd([L_i : F]) = 1$$

$$[D_{L_i}] \cap Br(L_i) = 0$$

Приложим гомоморфизм $Br(L_i) \rightarrow Br(F)$

$$\sim [L_i : F] \cdot [D] \cap Br(F) = 0$$

$$\sim [D] \cap Br(F) = 0$$

Очевидно можно увидеть, что в степени разбогачения как раз подрешетка, порожденная $[D]$

Но если мы наращивали фильтрацию

$$P^n \supset P^{n-1} \supset \dots \supset pt \quad \text{т.е. } \exists X \supset X_1 \supset X_2 \supset \dots \quad \begin{matrix} \text{фильтрация замкнута} \\ \text{подпространство} \end{matrix}$$

$$A^n \supset A^{n-1} \supset \dots \supset A^0 \quad X_i \setminus X_{i+1} = \prod A^{k_i}$$

Такое пространство называется негативным

① У него все CH^i - свободные кон. пор. алгебровы группы
(потому что это квадрат)

② $CH(X)_i \cong CH(X_L)_i \quad \forall L/F.$

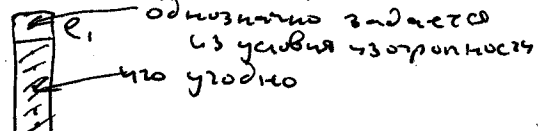
Квадратика Q

Рассмотрим

$$Q \times Q \supset \{f(u, v) = 0\} \supset Q \quad \begin{matrix} f(u, v) = 0 \\ u = v \end{matrix}$$

$$\begin{matrix} (u, v) \\ \downarrow u \\ u \end{matrix} \quad \begin{matrix} \{f(u, v) = 0\} \\ \downarrow f(u, v) \\ A^{\dim Q} \end{matrix} \quad \begin{matrix} \supset Q \\ (u = v) \end{matrix}$$

Почему? Пусть $u = e_1$,
тогда дополнение $\{f(u, v) \neq 0\}$
 \rightarrow ненулевой v при e_1 не равен 0
 \rightarrow м. очевидно, что он равен 1



$$\{f(u, v) = 0\} \supseteq Q$$

$$A^1 = P(\bar{e}_2) \setminus P(\bar{e}_1), \quad \text{как и выше.}$$

$$\mathbb{O}\text{Gr}(1, 2; f)$$

срдца, состоящие из блоков членов подпространств $\langle u \rangle \leq \langle u, v \rangle$

Чтобы залог, рассмотрим топологическое расслоение T и

$$(\bar{e}_1^\perp)^* (\bar{e}_2^\perp)^*$$

$$A^{\dim Q} \cong \mathbb{P}((\bar{e}_2^\perp)^*) \setminus \mathbb{P}((\varphi \in (\bar{e}_1^\perp)^* \mid \varphi(e_1) = 0))$$

$$v \mapsto \varphi : \varphi(w) = f(v, w)$$

Теперь очередь ми

$$Q \supset \{ f(u,v) = 0 \} \supset p^+$$

$\downarrow A^{\dim Q}$ $\downarrow A^2$
 p^+ $Q', \dim Q' = \dim Q - 2$
center

$$CH^{*-}(t \leftarrow (r_{i,j} - 0)) \rightarrow CH^*(Q) \longrightarrow CH^*(p+) \longrightarrow O$$

$$CH^{*-dim Q+1}(pt) \xleftarrow{\quad} CH^*(\{f(u,v)=0\}) \longrightarrow CH^*(Q') \longrightarrow 0$$

При помощи индукции можно доказать следующее:

$\dim Q = n - \text{rank}$

Q'' — подивидуальная изоморфистичность 1
 = изоморфическое сечение \mathcal{Q} общей полости

A diagram showing a circuit element labeled $[P^{h/2}]$. It has two input terminals on the left and two output terminals on the right. The top terminal is labeled a . The bottom terminal is labeled b . The leftmost input terminal is labeled 1 , the second h , and the third h^2 . The rightmost output terminal is labeled p , and the second output terminal from the right is labeled $[P^z]$.

В координатах:

$$Q: x_1 y_1 + \cdots + x_{n_2+1} y_{n_2+1} = 0$$

Подвадренъ:

$$\bullet X_{n/2+1} \bar{y}_{n/2+1} = 0 \leftarrow Q''$$

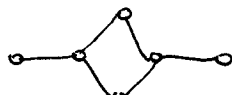
$$\bullet \quad X_{n_{l_2}+1} = 0$$

• i u tak Janee

Down do $\frac{1}{2}$:

$$\begin{cases} x_1 = \dots = x_{n_2+1} = 0 & \rightarrow \text{два варианта} \\ x_1 = \dots = x_{n_2} = y_{n_2+1} = 0 \end{cases}$$

13



$$x_1 y_1 + x_2 y_2 + x_3 y_3 = 0$$

$$\{x_3 = y_3 = 0\}$$

$$\begin{cases} x_1 = x_2 = x_3 = 0 \\ x_1 = x_2 = y_3 = 0 \end{cases} \Leftrightarrow \begin{cases} x_1 = x_2 = x_3 = 0 \\ x_1 = x_2 = y_3 = 0 \end{cases} \Leftrightarrow \begin{cases} x_1 = x_2 = 0 \\ x_3 = y_3 \end{cases}$$

$$\begin{aligned} & \text{no gravity} - x_0 \\ & \rightarrow \text{subharmonic} \\ & x_3 = y_3 = 0 \end{aligned}$$

М. №10*476 $x_1=0$ и №14*476 $\partial_1 f \geq 3$ опровергут $y_1 > x_1$.

У функции y_1/x_2 нули в y_1 , и нули в $x_2 \Rightarrow$ они заблокированы.